

01; 02

© 1990 г.

**КВАЗИКЛАССИЧЕСКИЙ РАСЧЕТ СЕЧЕНИЙ  
И КОНСТАНТ СКОРОСТЕЙ  $VVT$ -ОБМЕНА  
ДВУХАТОМНЫХ МОЛЕКУЛ**

*A. V. Богданов, Ю. Н. Жук, К. С. Клоповский, В. А. Павлов*

Проведено численное исследование полных сечений и констант скоростей  $RT$ -обмена ( $\text{Ar}-\text{N}_2$ ,  $\text{He}-\text{H}_2$ ),  $VT$ -обмена ( $\text{He}-\text{H}_2$ ) и  $VV$ -обмена ( $\text{N}_2-\text{N}_2$ ,  $\text{O}_2-\text{O}_2$ ,  $\text{H}_2-\text{H}_2$ ,  $\text{F}_2-\text{F}_2$ ), полученных на основе интегрального квазиклассического представления амплитуды неупругого рассеяния в широком интервале температур и квантовых чисел. Предложены аналитические параметризации, аппроксимирующие результаты расчетов.

В работе предпринято численное исследование интегрального квазиклассического представления амплитуды неупругого рассеяния (ИКП) [1]. При расчете амплитуды на ЭВМ удалось отказаться от ряда приближений, используемых при получении аналитических аппроксимаций [2-7]. Приводимые результаты позволяют оценить ошибки, вносимые этими приближениями. Тем не менее они еще в полной мере не могут служить для оценки точности и области применимости ИКП, так как и они получены для одномерных траекторий относительного движения (исключением является эйкональная траектория). Одновременно исследовано влияние различных аппроксимаций траектории на величину сечений колебательного и вращательного обмена. С помощью созданного комплекса программ для ЭВМ получены сечения  $RT$ -обмена в системах  $\text{Ar}-\text{N}_2$ ,  $\text{He}-\text{H}_2$ ,  $VT$ -обмена в системе  $\text{He}-\text{H}_2$  и проведено их сравнение с квантово-механическими расчетами. Для систем  $\text{N}_2-\text{N}_2$ ,  $\text{O}_2-\text{O}_2$ ,  $\text{H}_2-\text{H}_2$ ,  $\text{F}_2-\text{F}_2$  проведен расчет сечений и констант скорости  $VV$ -обмена в интервале температур от 100 до 2000 К в широком диапазоне колебательных уровней ( $n$  от 0 до 10-18). Предложены аналитические параметризации, удовлетворительно аппроксимирующие результаты расчетов. Исследовано влияние притяжения молекул на  $VV$ -обмен в  $\text{N}_2$ , а также оценены вероятности многоквантового и неизоквантового обмена в указанных системах.

### 1. Исходные представления для сечения

Последовательное изложение метода расчета сечений  $VVT$ -обмена на основе ИКП можно найти в работах [1-7]. Приведем здесь только основные соотношения, важные для дальнейшего изложения, следя за работе [7].

Потенциал взаимодействия сталкивающихся частиц представляется в виде

$$V(\mathbf{R}, \Phi, I) = V_0(R) + W(\mathbf{R}, \Phi, I), \quad (1)$$

где  $V_0$  — потенциал упругого взаимодействия;  $W$  — потенциал неупругого взаимодействия, зависящий от переменных угол — действие  $\Phi$ ,  $I$ .

В этом случае дифференциальное сечение удается факторизовать на упругую и неупругую части

$$\sigma_{n_i \rightarrow n_f}(E_i, b_i) = \sigma_0(E_i, b_i) P_{n_i \rightarrow n_f}(E_i, b_i), \quad (2)$$

где вероятность неупругого перехода

$$P_{n_i \rightarrow n_f}(E_i, b_i) = B |\Gamma(p_f, p_i; I_i, I_f)|^2. \quad (3)$$

$B = \sqrt{E_f/E_i}$  — при возбуждении,  $B=1$  при дезактивации,

$$\begin{aligned} \Gamma(p_f, p_i; I_f, I_i) = & \int \frac{d^m \Phi_0}{(2\pi)^m} \exp \left\{ \frac{i}{\hbar} \left[ \Phi_0 \cdot (I_i - I_f) - \right. \right. \\ & \left. \left. - \int_{-\infty}^{+\infty} W(R(t), \Phi_0 + \omega_{i,f} t, I_{i,f}) dt \right] \right\}, \end{aligned} \quad (4)$$

$R(t)$  — траектория, рассчитанная на основе потенциала  $V_0$ ;  $b_i$  — прицельный параметр в начальном канале процесса столкновения;  $m$  — размерность области угловых переменных;  $\omega$  — вектор частот внутренних движений.

Полное сечение на основе (2) можно представить следующим образом:

$$\sigma_{n_i \rightarrow n_f}(E_i) = 2\pi \int_0^{+\infty} db_i b_i P_{n_i \rightarrow n_f}(E_i, b_i). \quad (5)$$

Расчет сечений VRT-обмена сводится к выполнению следующих операций.

1. Для заданного прицельного параметра  $b_i$  рассчитывается входящая ветвь траектории  $R_i(t)$  (т. е. траектория сближения частиц с энергией  $E_i$  в потенциале  $V_0$ ) на основе соответствующего уравнения для траектории с начальным условием  $R_i(0)=p_0, k$  ( $k$  — орт оси  $OZ$ ).

2. Так как при неупругом столкновении меняется энергия поступательного движения  $E_f = E_i + \Delta E$  ( $\Delta E$  — дефект резонанса), то для уходящей ветви траектории  $R_f(t)$  будет, вообще говоря, другая точка наибольшего сближения  $p_{0f} \neq p_0$ , и другой прицельный параметр  $b_f$ , т. е. траектория будет разрывна. В расчетах были использованы различные условия сшивки ветвей траектории, с помощью которых для данных  $b_i, E_i, E_f$  определяются  $b_f, p_{0f}$ .

3. На полученной «упругой» траектории для различных значений начальной фазы внутреннего движения  $\Phi_0$  рассчитываются приращения действия за счет неупругого потенциала. После усреднения по  $\Phi_0$  находится профиль неупругого перехода  $\Gamma$  (4), а затем и вероятность неупругого перехода  $P_{n_i \rightarrow n_f}$ .

4. Для вычисления полного сечения (5) операции (1)–(3) повторяются для необходимых с точки зрения численного метода значений  $b_i$ .

Остановимся на характеристике тех видов приближенных траекторий, которые были использованы при расчете сечений.

A. Непрерывная траектория:  $b_i$  определяется из условия  $p_{0f}=p_{0i}$ . Для столкновений с возбуждением при  $b_i$  меньше некоторого значения этому условию удовлетворить нельзя, разрыв траектории сохраняется. Тогда полагается  $b_f=0$ .

B. Эйкональная траектория — прямая, по которой двигалась бы налетающая частица в отсутствие взаимодействия. Скорость движения постоянна и равна начальной скорости.

C. Непрерывная траектория с «размазанной» передачей энергии: на некотором расстоянии от точки наибольшего сближения налетающий атом начинает постепенно терять энергию и плавно переходит на уходящую ветвь траектории. При проведении расчетов предполагается, что траектория направлена вдоль оси квантования  $OZ$ . Модуль каждой ветви траектории до момента сшивки рассчитывается на основе численного интегрирования дифференциального уравнения.

D. Траектория строится с учетом закона сохранения момента количества движения. Значения величин  $b_i, E_i, E_f, j_i, j_f$  однозначно определяют момент количества движения улетающего атома, а тем самым и  $b_f$ . Каждая ветвь траектории рассчитывается, как и для траектории C.

## 2. Расчеты сечений RT-обмена

Были рассчитаны сечения в системах Ar—N<sub>2</sub> и He—H<sub>2</sub>, для которых в литературе имеются результаты квантово-механических расчетов [8]. Для потенциала взаимодействия Ar—N<sub>2</sub> использовалось представление, приведенное

Таблица 1

Сечения вращательных переходов  $\sigma_{0 \rightarrow j}$  ( $E_i$ ) в системе Ar—N<sub>2</sub> ( $\text{\AA}^2$ )

$E_i, \text{ эВ}$	$j$	МССК	АВГИ	Данная работа			
				Траектория			
				<i>A</i>	<i>B</i>	<i>C</i>	<i>D</i>
0.025	2	26.7	24.9	32.9	25.0	37.2	29.9
	4	22.8	12.6	17.3	14.7	25.3	21.5
	6	10.1	7.9	11.2	9.9	16.8	13.7
	8	1.16	4.5	5.8	5.1	13.3	9.3
	10						
	12	0.055	2.7	2.13	4.26		
	14						
	16						
0.066	2	15.7	17.3	24.6	19.5		30.1
	4	11.4	9.7	17.2	14.3		15.5
	6	10.8	6.9	12.5	10.2		11.8
	8	5.7	5.0	12.7	6.92		7.74
	10	1.15	3.8	6.42	6.03		7.11
	12						
	14						
	16						

в работах [8, 9]. Полные сечения переходов вида  $0 \rightarrow j$  были рассчитаны при двух значениях энергии столкновения:  $E_i = 0.025$  и  $0.06621$  эВ. Результаты расчетов сечений и их сравнение

с данными квантово-механических расчетов, полученных методом сильной связи каналов (МССК), и расчетами на основе аналитических выражений [5] (АВГИ), полученных на основе используемой нами амплитуды, приведены в табл. 1.

Из сравнения можно сделать следующие выводы: 1) удовлетворительно согласуются результаты, полученные разными методами для сечений переходов на нижние уровни:  $0 \rightarrow 2$ ,  $0 \rightarrow 4$ ,  $0 \rightarrow 6$ , сильно ( $\sim 2$  раза) различаются сечения переходов  $0 \rightarrow 8$ ,  $0 \rightarrow 10$ ,  $0 \rightarrow 12$ , полученные МССК и на основе ИКП; 2) численные расчеты методом ИКП дают, как правило, завышенные результаты по сравнению с квантово-механическими; 3) несмотря на то что приближенные траектории сильно отличаются друг от друга, сечения, полученные с этими траекториями, различаются не более чем в 1.5—2 раза; 4) траектории типа *B* использовались в [8]

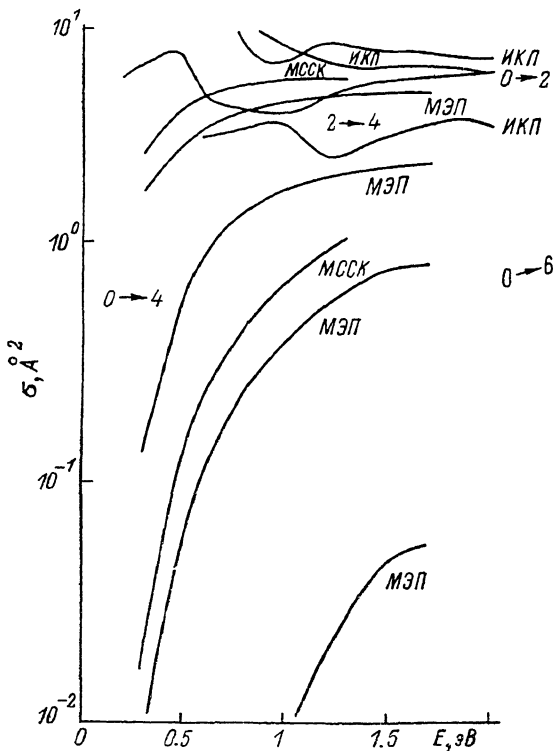


Рис. 1. Сечения вращательных переходов в системе He—H<sub>2</sub>.

при получении аналитических выражений из ИКП, поэтому можно оценить ошибку, вносимую комплексом используемых в [5] приближений: для переходов на нижние уровни она не превышает 20—40 %, а для верхних уровней составляет 50—100 %; 5) расхождение численных расчетов на основе

ИКП и в МССК при больших передачах связано скорее всего с ограниченной применимостью переменных угол—действие в этих условиях.

При расчетах сечений  $RT$ -обмена в системе  $\text{He}-\text{H}_2$  использовался потенциал Гордона—Сикреста [8]

$$V(R, \gamma) = C \exp(-\alpha R) [1 + \alpha P_2(\cos \gamma)],$$

где  $C=303.19$  эВ,  $\alpha=3.666 \text{ \AA}^{-1}$ ,  $\alpha=0.251$ .

Сечения, полученные на основе ИКП, сравнивались с сечениями, полученными МССК и на основе метода эффективного потенциала (МЭП) [8]. Зависимость полученных сечений от энергии приведена на рис. 1.

Систему  $\text{He}-\text{H}_2$  отличают две особенности, делающие ее менее подходящей для квазиклассических расчетов. Это, во-первых, малая масса сталкивающихся частиц, что делает процесс их столкновения существенно квантовым уже при  $E_i=0.1$  эВ, во-вторых, очень большая вращательная постоянная молекулы  $H_2$ .

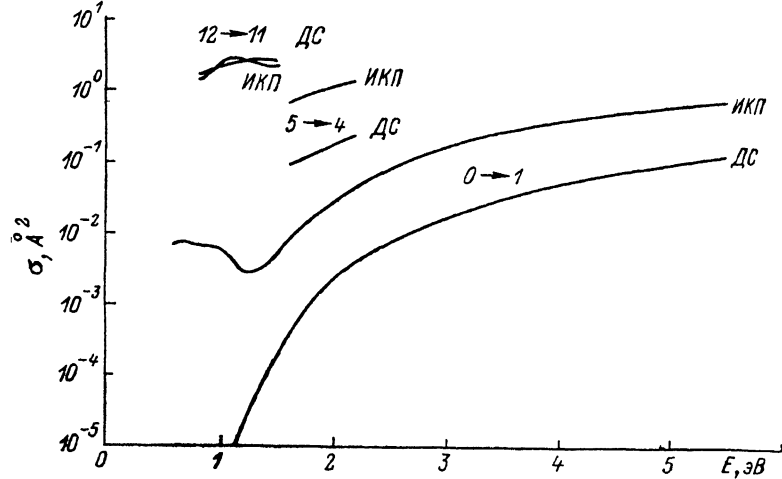


Рис. 2. Сечения колебательных переходов в системе  $\text{He}-\text{H}_2$ , полученные на основе ИКП и квантово-механическим методом дышащих сфер (ДС) [8].

Следует отметить, что сечения перехода  $0 \rightarrow 2$  при высоких энергиях столкновения (более 0.5 эВ) практически совпадают с квантово-механическими результатами. Сечения переходов  $0 \rightarrow 4$ ,  $2 \rightarrow 4$  при  $E_i > 1$  эВ удовлетворительно согласуются с квантовыми расчетами, для более высоких переходов отличие больше чем на порядок. Возможная причина — большой дефект энергии, приводящий к сильному скачку параметров траектории в области взаимодействия. При низких энергиях наблюдается существенное отличие от квантовых результатов, поскольку траектории со скачками и изломами в адиабатическом пределе приводят к нефизическим вкладам в приращение действия, делающим приближенную формулу (4) непригодной.

### 3. Расчеты сечений $VT$ -обмена

Они проведены в системе  $\text{He}-\text{H}_2$  на основе потенциала [8]

$$V(r, R) = C \exp[-\alpha_0 R + \alpha_1(r - r_0)R] [1 + \beta(r - r_0)],$$

$$C = 303.19 \text{ эВ}, \alpha_0 = 3.666 \text{ \AA}^{-1}, \alpha_1 = 0.8928 \text{ \AA}^{-2}, \beta = -0.5972 \text{ \AA}^{-1}.$$

Сечения как функции кинетической энергии столкновения приведены на рис. 2. Развличие квазиклассических и квантовых результатов особенно велико при низких энергиях, когда у частиц большая длина волны де Бройля и большие величины разрыва в траектории (2-3 Å). При высоких энергиях столкновения происходят «классично», а разрыв в траектории сокращается до долей ангстрема, кривые квантового и квазиклассического расчетов сближаются, становится сходной их энергетическая зависимость.

#### 4. Расчеты сечений и констант скорости $VV$ -обмена

Процессы  $VV$ -обмена принадлежат к числу наименее исследованных элементарных процессов в газах. Трудности прямого экспериментального определения констант скоростей  $VV$ -процессов в газах гомоядерных молекул, таких как  $N_2$ ,  $O_2$ , обусловлены тем, что излучательные переходы между колебательными уровнями запрещены из-за симметрии молекул. Поэтому для определения констант скоростей используются косвенные методы [10] либо методы активной лазерной спектроскопии [11, 12]. И в том, и в другом случаях решается обратная

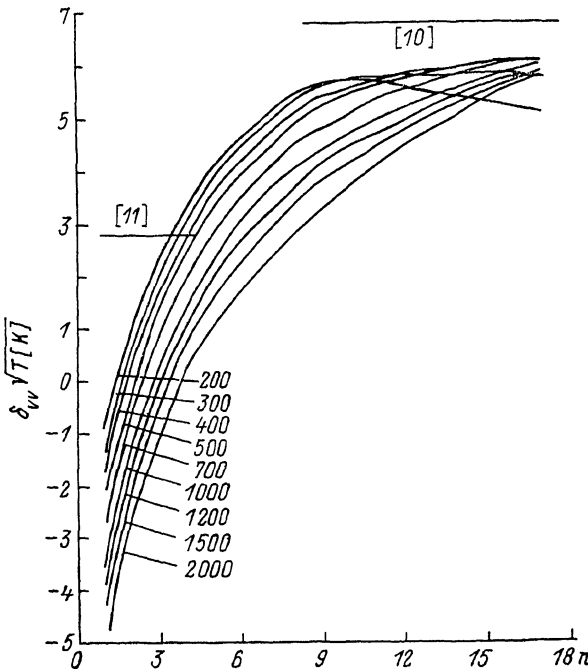


Рис. 3. Величина  $\delta_{VV} \sqrt{T} [K]$  для азота как функция номера колебательного уровня  $n$  при различных температурах.

Значение температуры в кельвинах указано возле кривой,  $m=0$ . Горизонтальные отрезки — экспериментальные значения, полученные в работах [10] для  $n \geq 8$  [8–10] и [11] для  $n=1$ –5.

задача, включающая расчеты колебательной поуроневой кинетики. При этом для констант скоростей используют параметризацию ШСГ [13]

$$K_{m+1, m}^{n, n+1} = Q_{10} \frac{(n+1)(m+1)}{[1 - x_e(n+1)][1 - x_e(m+1)]} \exp[-\delta_{VV}|n-m|],$$

$$\delta_{VV} = \frac{4\pi}{3} \frac{\omega x_e}{\alpha} \left( \frac{\mu}{2kT} \right)^{1/2}. \quad (6)$$

Значения  $Q_{10}$  и  $\delta_{VV}$ , полученные при интерпретации экспериментальных данных, часто противоречат друг другу и расходятся с расчетами  $\delta_{VV}$  по формуле (6) из модели ШСГ. Так, в работе [10] получено наилучшее согласие рассчитанного нагрева в азоте с измеренным при  $Q_{10}=2.5 \cdot 10^{-14} \text{ см}^3/\text{с}$ ,  $\delta_{VV}=6.8/T^{1/2}$ . В работе [11] использованием широкополосного варианта КАРС спектроскопии получены значения  $Q_{10}=5 \cdot 10^{-14} \text{ см}^3/\text{с}$ ,  $\delta_{VV}=2.7/\sqrt{T}$ , тогда как формула (6) дает  $\delta_{VV}=6.82/\sqrt{T}$ .

Нами были проведены на основе ИКП расчеты констант скоростей  $VV$ -переходов вида  $(1, n) \rightarrow (0, n+1)$  в азоте (до  $n=17$ ), кислороде (до  $n=15$ ), водороде (до  $n=8$ ), фторе (до  $n=9$ ) при температурах от 200 до 2000 К. В расчетах использовалось несколько модельных потенциалов, из которых мы здесь приведем два: модель работы [14] (I) и потенциал работы [15] (II).

На основе расчетов методом ИКП исследована качественная зависимость констант скоростей  $VV$ -обмена от номера колебательного состояния и проведена оценка роли двухквантового  $VV$ -обмена в колебательной кинетике.

Полученные константы скорости одноквантовых  $VV$ -переходов были параметризованы в виде (6). Как оказалось, полученный при этом параметр  $\delta_{VV}$  зависит не только от температуры, но и от номеров уровней  $n$  и  $m$ . На рис. 3 показана величина  $\delta_{VV} \sqrt{T}$  для азота как функция номера уровня. Для аппроксимации расчетных значений наиболее подходящей оказалась следующая функция:

$$\delta_{VV}(n, m, T) = T^{-1/2} \left[ A - B \exp\left(-\frac{C |n-m|}{T^{1/2}}\right)\right]. \quad (7)$$

Зависимость  $Q_{10}(T)$  с большой точностью аппроксимировалась соотношением

$$Q_{10}(T) = D \left(\frac{T [K]}{300}\right)^P. \quad (8)$$

Значения параметров  $A$ ,  $B$ ,  $C$ ,  $D$ ,  $P$ , а также величины  $\delta_{VV} \sqrt{T}$ , полученной по формуле (6), приведены в табл. 2.

Таблица 2

Значения параметров  $A$ ,  $B$ ,  $C$ ,  $D$ ,  $P$  из аппроксимаций (7), (8) и величины, полученной по формуле (6)

Молекула	$\delta_{VV} \sqrt{T}$	$A$	$B$	$C$	$D$	$P$
$N_2$	6.82	6.38	10.35	1.855	2.01 (-14)	1.122
$O_2$	4.63	6.5	12.53	1.852	2.81 (-13)	1.128
$H_2$	9.92	12.2	23.75	3.118		
$F_2$	4.18	5.3	10.874	1.858		

Примечание. В скобках указана величина порядка.

Необходимо отметить, что предельное значение расчетных величин  $\delta_{VV} \sqrt{T}$  для высоких колебательных уровней (по формуле (7) этот предел равен  $A$ ) близко к значению, предсказанному методом ШСГ (6). Для низких колебательных уровней отличие (7) от (6) приводит к увеличению скорости  $VV$ -обмена в 2-3 раза. Обнаруженная зависимость  $\delta_{VV}$  от номера уровня позволила объяснить расхождение экспериментальных данных для этого параметра, полученных для азота разными методами [10, 11]. При КРС аппроксимации в [11] наблюдалась динамика заселенностей низких колебательных уровней  $n=1-5$ , а в экспериментах по аномальному нагреву [10] определяющий вклад вносит  $VV$ -обмен высококолебательно-возбужденных молекул азота  $n \geq 8-10$ . Экспериментальные значения  $\delta_{VV} T^{1/2}$ , полученные в этих работах, показаны на рис. 3 в виде горизонтальных отрезков при соответствующих  $n$ . Как видно, имеется качественное согласие экспериментальных данных с результатами квазиклассических расчетов.

На примере азота для резонансного перехода  $(0, 1) \rightarrow (1, 0)$  было исследовано поведение константы  $K_{1,0}^0(T)$ , рассчитанной для четырех различных потенциалов. Результаты этих расчетов и экспериментальные точки приведены на рис. 4. Из сравнения результатов можно сделать следующие выводы.

1. Использование различных потенциалов приводит к различающимся в 5-7 раз значениям константы скорости, но оставляет близкой температурную зависимость.

2. Так как экспериментальные точки лежат внутри пучка расчетных кривых и также имеют значительный разброс, то в пределах имеющейся точности можно говорить об удовлетворительном согласии результатов расчетов при использовании потенциалов I, II с экспериментом.

3. Величины  $\delta_{VV}\sqrt{T}$  как функции  $n$  слабо отличаются для разных потенциалов, однако вид потенциала существенно влияет на величину и температурную зависимость констант (определяет параметр  $Q_{10}(T)$ ).

Отметим еще, что использование потенциала, усредненного по ориентациям, приводит к завышению константы скорости  $VV$ -обмена в 1.2-2 раза, а чисто отталкивателного потенциала — к занижению при температурах до 1000 К в 1.2-1.5 раз.

Численные расчеты позволили исследовать процессы многоквантового  $VV$ -обмена в азоте и кислороде, данные о которых практически отсутствуют. Были рассчитаны сечения двухквантовых переходов в азоте при энергии столкновения 1 эВ:  $\sigma(2, 0 \rightarrow 0, 2) = 2, 9 (-5) \text{ \AA}^2$ ,  $\sigma(2, 1 \rightarrow 0, 3) = 1, 5 (-4) \text{ \AA}^2$ ,  $\sigma(2, 2 \rightarrow 0, 4) = 3, 9 (-4) \text{ \AA}^2$ . Сравним сечение одноквантового перехода при той же энергии:  $\sigma(2, 0 \rightarrow 1, 1) = 6, 2 (-2) \text{ \AA}^2$ , т. е. на 3 порядка выше. Аналогичное соотношение наблюдается и для кислорода ( $E_i = 0.1$  эВ):  $\sigma(2, 0 \rightarrow 0, 2) = 1, 3 (-4) \text{ \AA}^2$ ,  $\sigma(2, 0 \rightarrow 1, 1) = 1, 6 (-1) \text{ \AA}^2$ .

Если воспользоваться оценкой для матричного элемента двухквантового перехода в ангармоничной молекуле из [16]

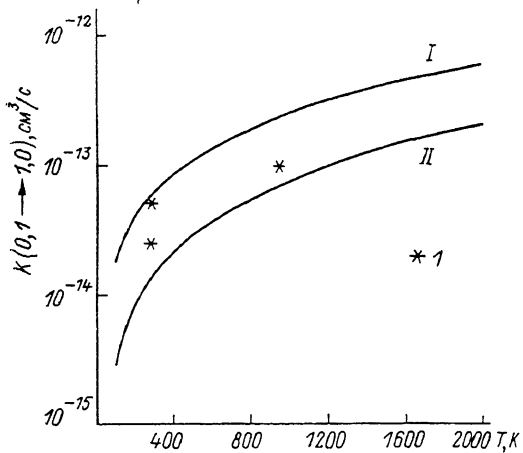


Рис. 4. Константа скорости  $K_{0 \rightarrow 1}^{1 \rightarrow 0}$  для азота, рассчитанная с различными потенциалами.

I — экспериментальные данные [8].

$$\left| \frac{\langle n | r | n - 2 \rangle}{\langle 1 | r | 0 \rangle} \right|^2 \approx n(n - 1)x_e,$$

то для оценки отношения сечений двух- и одноквантовых переходов через отношение соответствующих матричных элементов можно получить следующее выражение [8]:

$$\frac{\sigma(2, n - 2 \rightarrow 0, n)}{\sigma(2, m - 1 \rightarrow 1, m)} \approx \frac{n(n + 1)}{m} x_e^2. \quad (9)$$

При  $n=2, m=1$  это выражение дает следующее отношение (в скобках указаны значения, полученные на основе ИКП): для азота  $7, 2(-5) (4, 7(-4))$ , для кислорода  $1, 2 (-4) (8, 1 (-4))$ , т. е. имеется согласие оценки (9) с расчетными результатами по порядку величины. Следствием оценки (9) является увеличение отношения сечений двух- и одноквантовых переходов при росте номера уровня

$$\frac{\sigma(2, n - 2 \rightarrow 0, n)}{\sigma(2, n - 2 \rightarrow 1, n - 1)} \sim nx_e^2.$$

Для азота и кислорода эта оценка показывает, что во всей области колебательного спектра роль двухквантовых переходов пренебрежимо мала, определяющую роль играют одноквантовые  $VV$ -переходы. Для молекул с большим ангармонизмом двухквантовые переходы должны иметь большее значение, особенно для высоко колебательно-возбужденных молекул.

### Заключение

Проведенный численный анализ формул ИКП показал, что применение простых моделей потенциалов и грубых аппроксимаций траекторий оправдан в условиях, когда сечения рассеяния велики (большие энергии, малые передачи квантов). Простые попытки уточнения траектории оказываются не очень

эффективными. Поэтому при численной реализации квазиклассического подхода в теории колебательно-вращательного возбуждения необходимо использовать модели траекторий, не имеющих скачков в области взаимодействия, и модели молекул, учитывающие перекрытие волновых функций в классические запрещенные области. Относительная простота расчетов в рамках ИКП делает этот подход альтернативой методу сильной связи в условиях большого числа открытых каналов при атомно-молекулярных столкновениях в условиях большинства применений.

### Список литературы

- [1] Дубровский Г. В., Вьюненко Л. Ф. // ЖЭТФ. 1981. Т. 80. Вып. 1. С. 66—79.
- [2] Богданов А. В., Горбачев Ю. Е., Павлов В. А. // Препринт ФТИ АН СССР. № 833. Л., 1983. 62 с.
- [3] Богданов А. В., Горбачев Ю. Е., Дубровский Г. В., Павлов В. А. // ЖТФ. 1985. Т. 55. Вып. 10. С. 1889—1897.
- [4] Дубровский Г. В., Мухаметзянов Р. Э., Павлов В. А. // ИФЖ. 1984. Т. 17. № 2. С. 300—310.
- [5] Горбачев Ю. Е., Игнатьева И. М. // Хим. физика. 1986. Т. 5. № 5. С. 598—603.
- [6] Богданов А. В., Горбачев Ю. Е. // Хим. физика. 1988. Т. 7. № 3. С. 291—296.
- [7] Богданов А. В., Горбачев Ю. Е., Дубровский Г. В. и др. // Препринт ФТИ АН СССР. № 1073. Л., 1986. Ч. I, II. 57, 30 с.
- [8] Жук Ю. Н., Клоповский К. С., Померанцев В. Н. Деп. ВИНИТИ. М., 1985. 34 с.
- [9] Cross R. J. // J. Chem. Phys. 1980. Vol. 1. N 2. P. 237—252.
- [10] Акишев Ю. С., Демьянов А. В., Кочетов И. В. и др. // ТВТ. 1982. Т. 20. № 5. С. 818—827.
- [11] Девятов А. А., Доленко С. А., Рахимов А. Т. и др. // ЖЭТФ. 1986. Т. 90. Вып. 2. С. 429—436.
- [12] Валянский С. И., Верещагин К. А., Верник Б. и др. // Квантовая электрон. 1984. Т. 11. № 9. С. 1833—1835.
- [13] Schwartz R., Slawsky Z., Herzfeld K. // J. Chem. Phys. 1952. Vol. 20. P. 1591.
- [14] Ree J. B., Ree T., Shin H. K. // J. Chem. Phys. 1983. Vol. 78. N 3. P. 1163—1173.
- [15] Billing G. D., Fisher E. R. // Chem. Phys. 1979. Vol. 43. P. 395—401.
- [16] Кочетов А. В., Клоповский К. С., Обховский И. Т., Померанцев В. Н. Препринт ИАЭ. № 018-В88. М., 1988. 27 с.

Ленинградский государственный  
университет

Поступило в Редакцию  
1 ноября 1988 г.